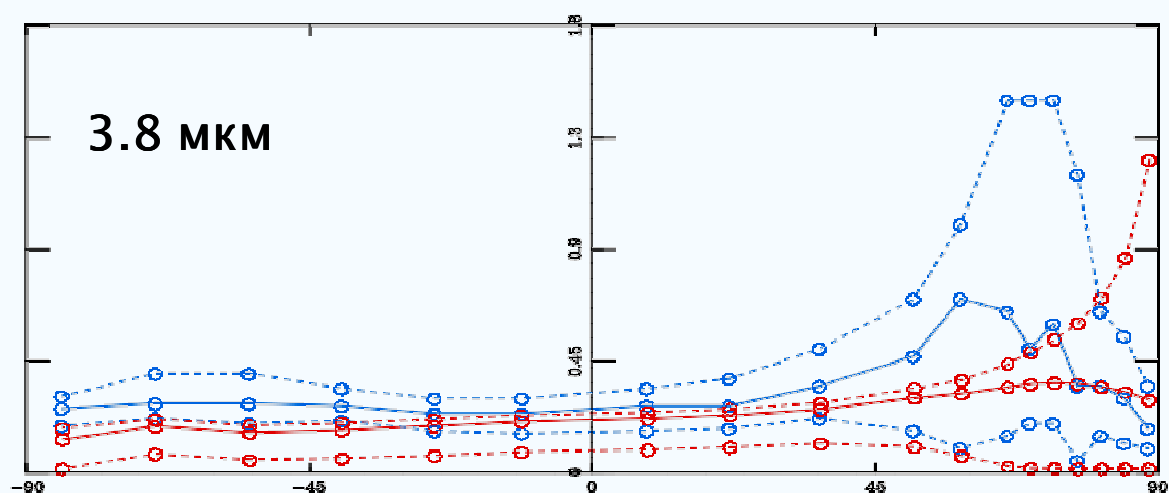
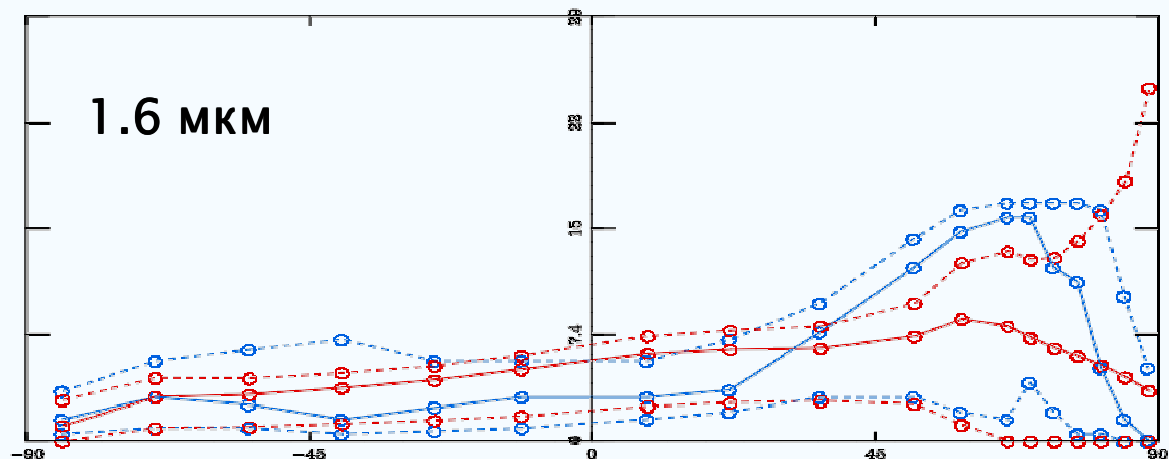


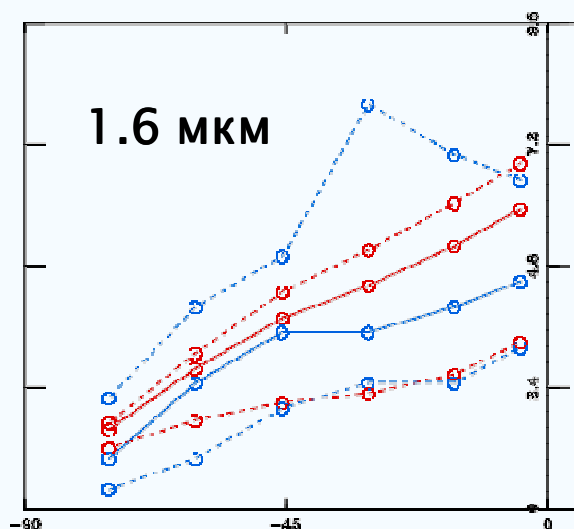
Результаты моделирования яркости фона облаков и сопоставление с наблюдениями метеорологических спутников



Зенитный угол сенсора - 75°
(пригоризонтное наблюдение)

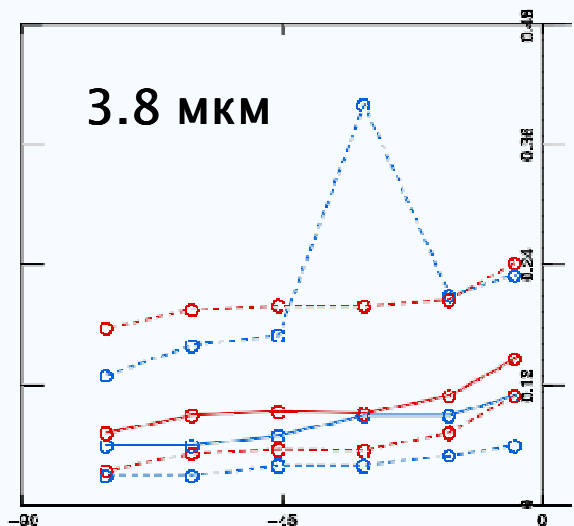
Водяное облако на высоте 5 км

Результаты моделирования яркости фона облаков и сопоставление с наблюдениями метеорологических спутников



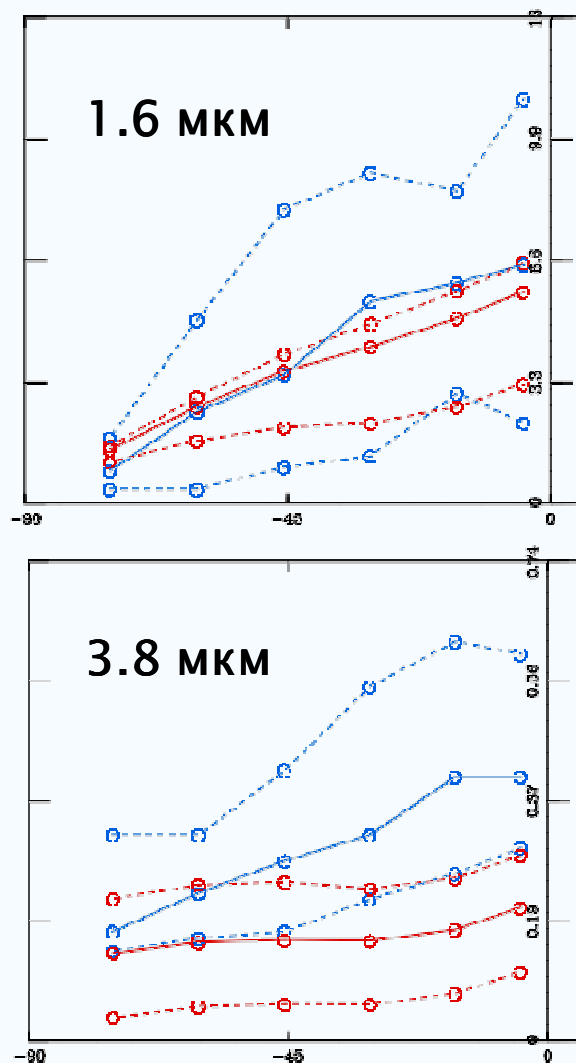
— Эксперимент
— Модель

Зенитный угол сенсора - 0°
(вертикальное наблюдение)



Ледяное облако на высоте 15 км

Результаты моделирования яркости фона облаков и сопоставление с наблюдениями метеорологических спутников

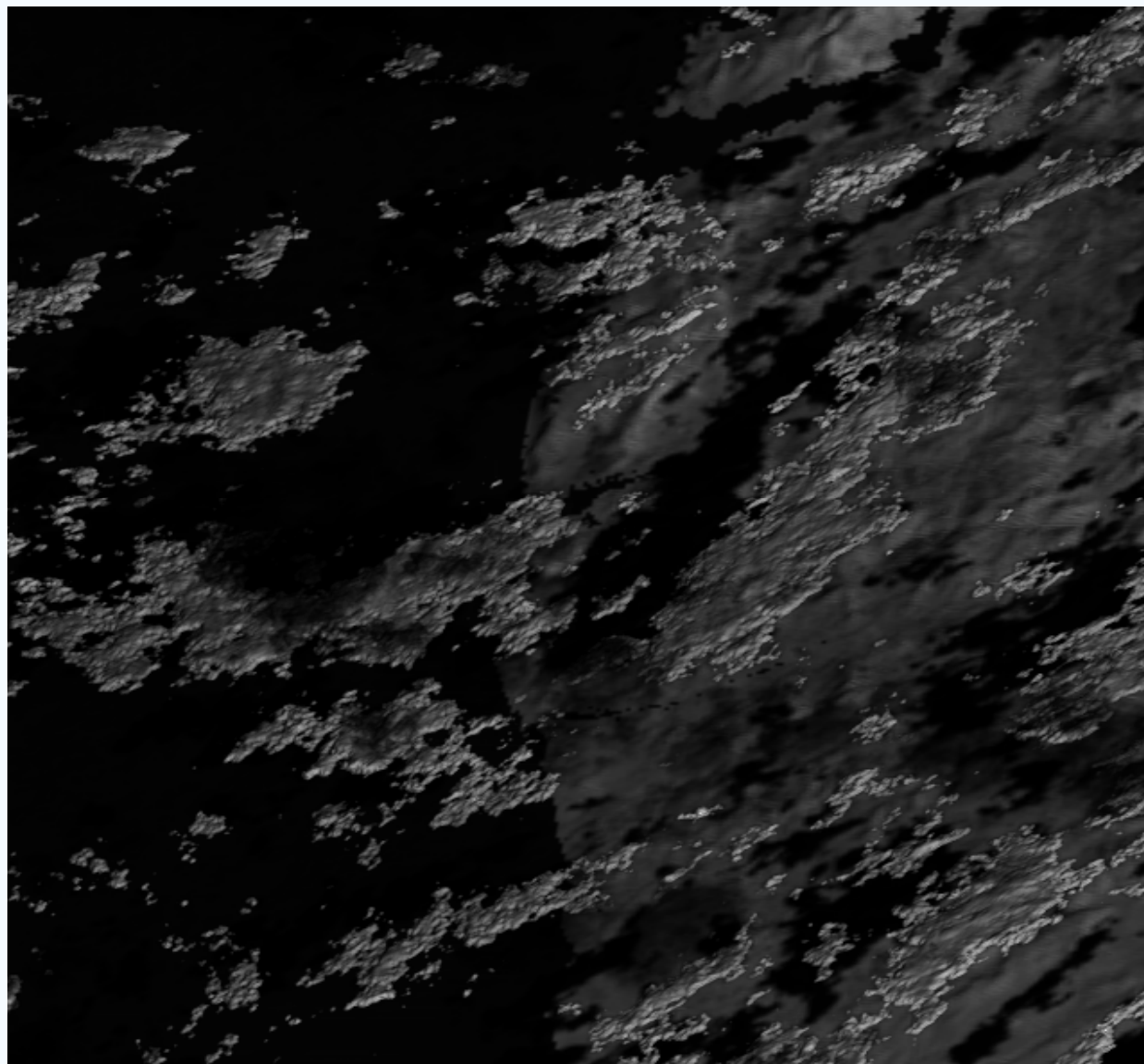


Эксперимент

Модель

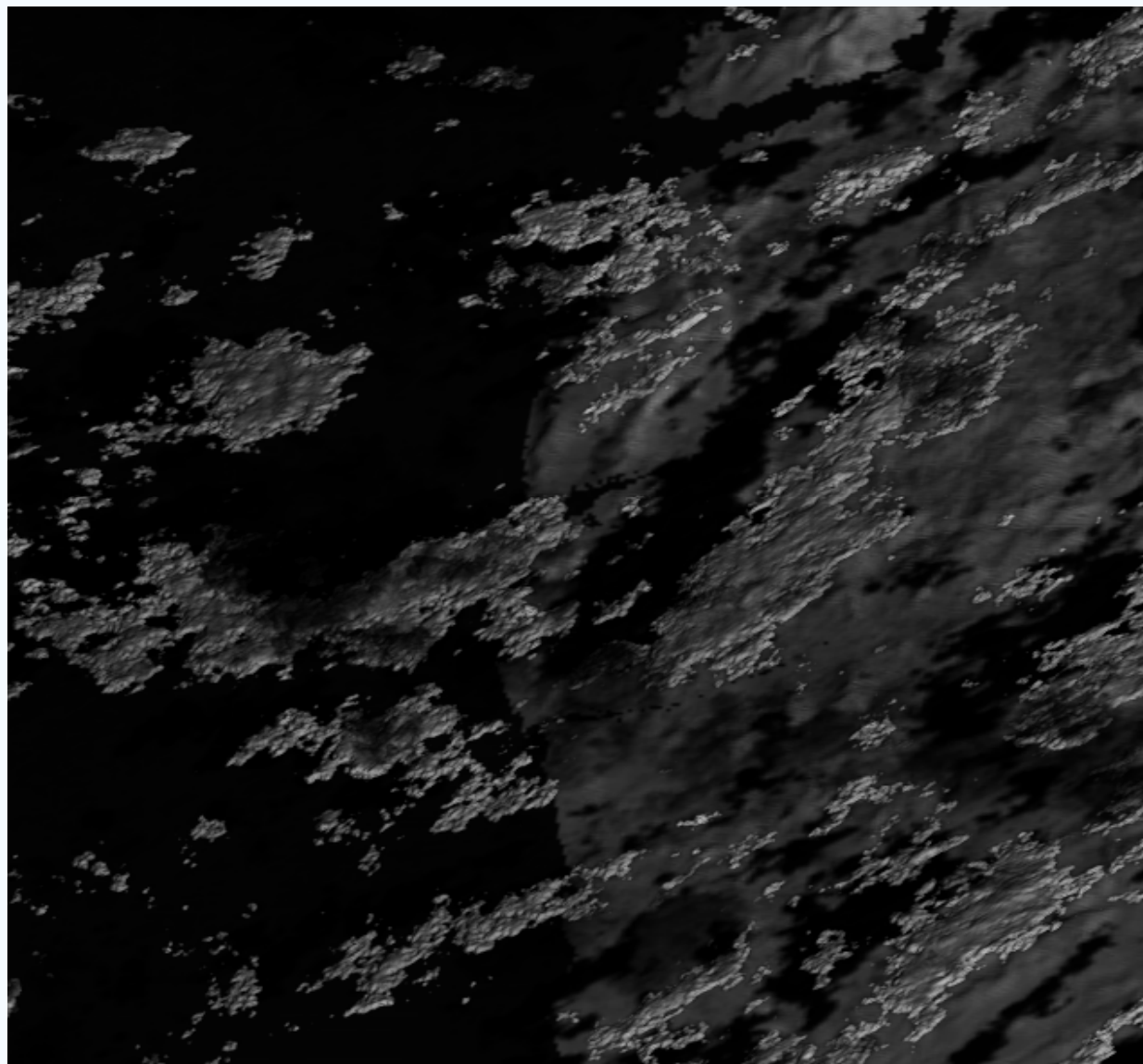
Зенитный угол сенсора - 0°
(вертикальное наблюдение)

Водяное облако на высоте 5 км



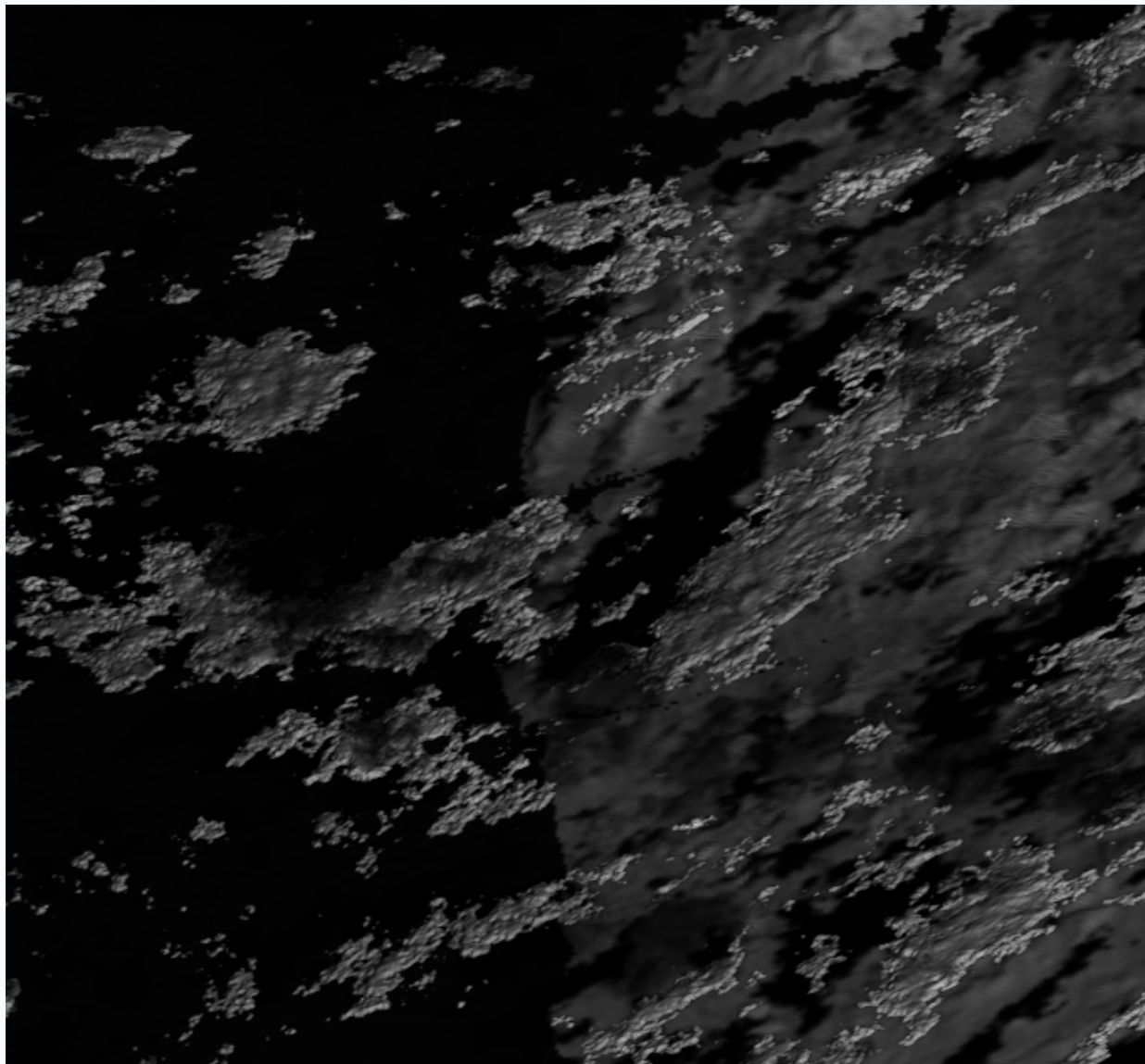
T_0

Пример моделирования последовательности фона



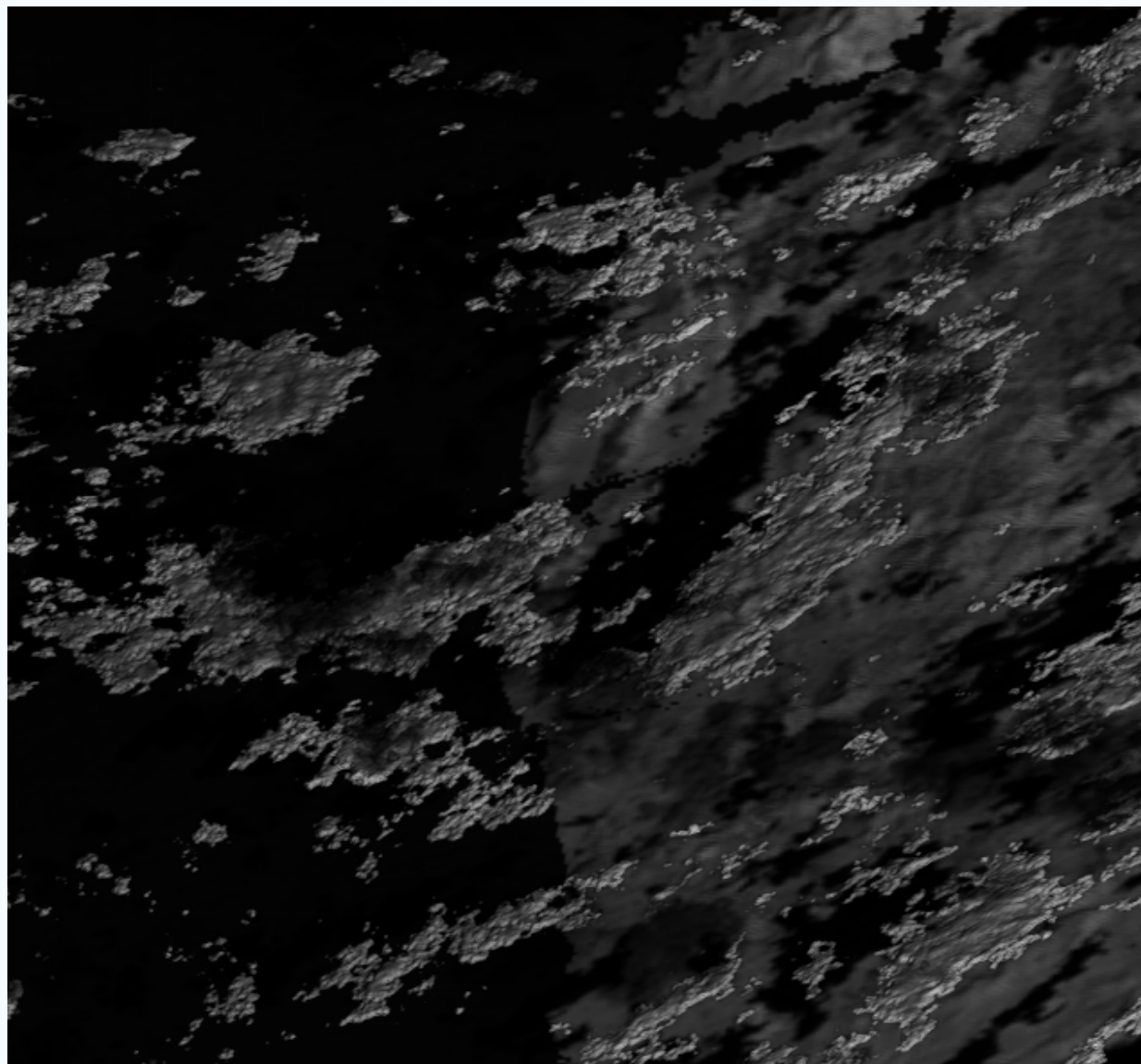
$T_0 + 200$ сек

Пример моделирования последовательности фона



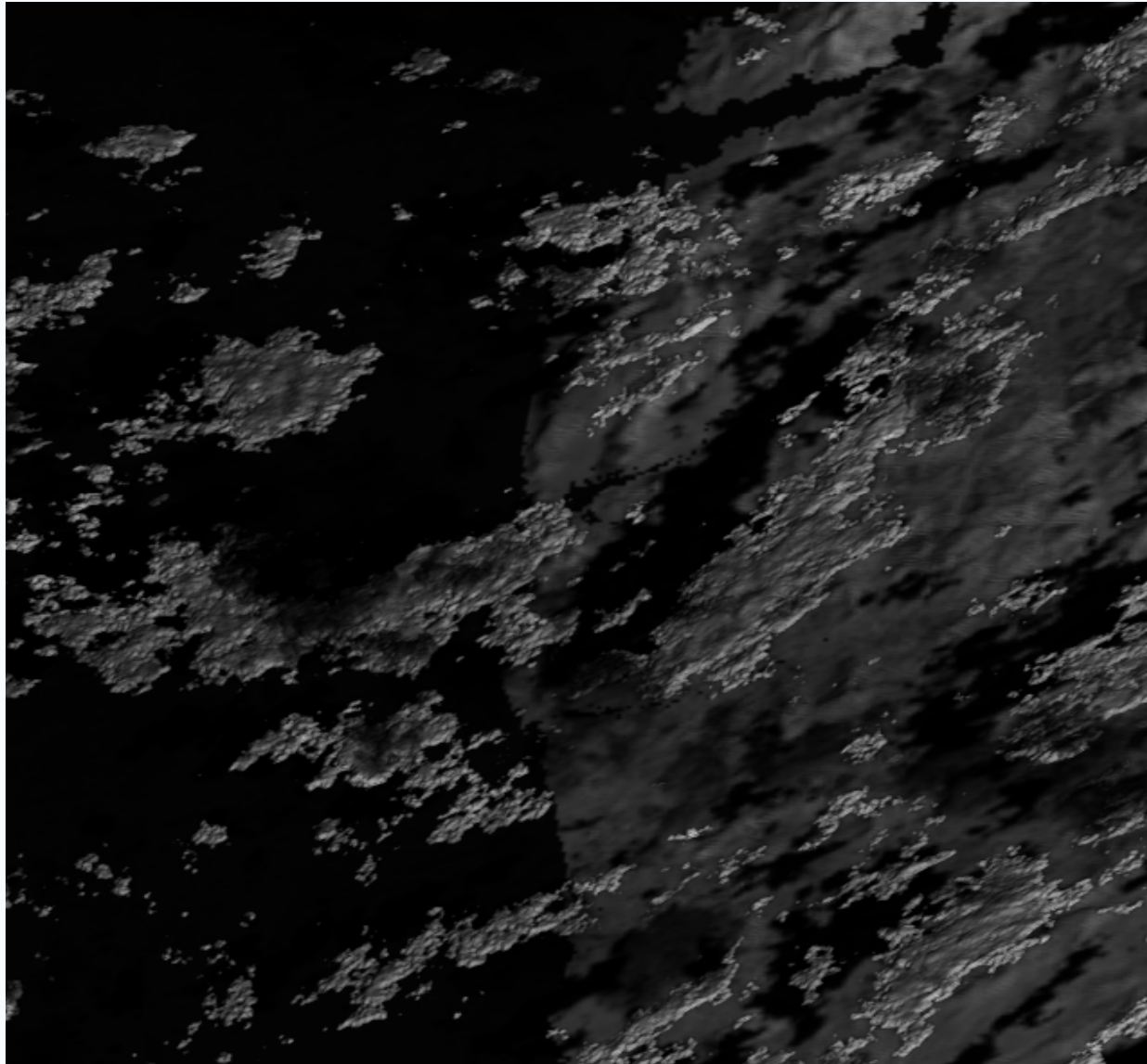
$T_0 + 400$ сек

Пример моделирования последовательности фона

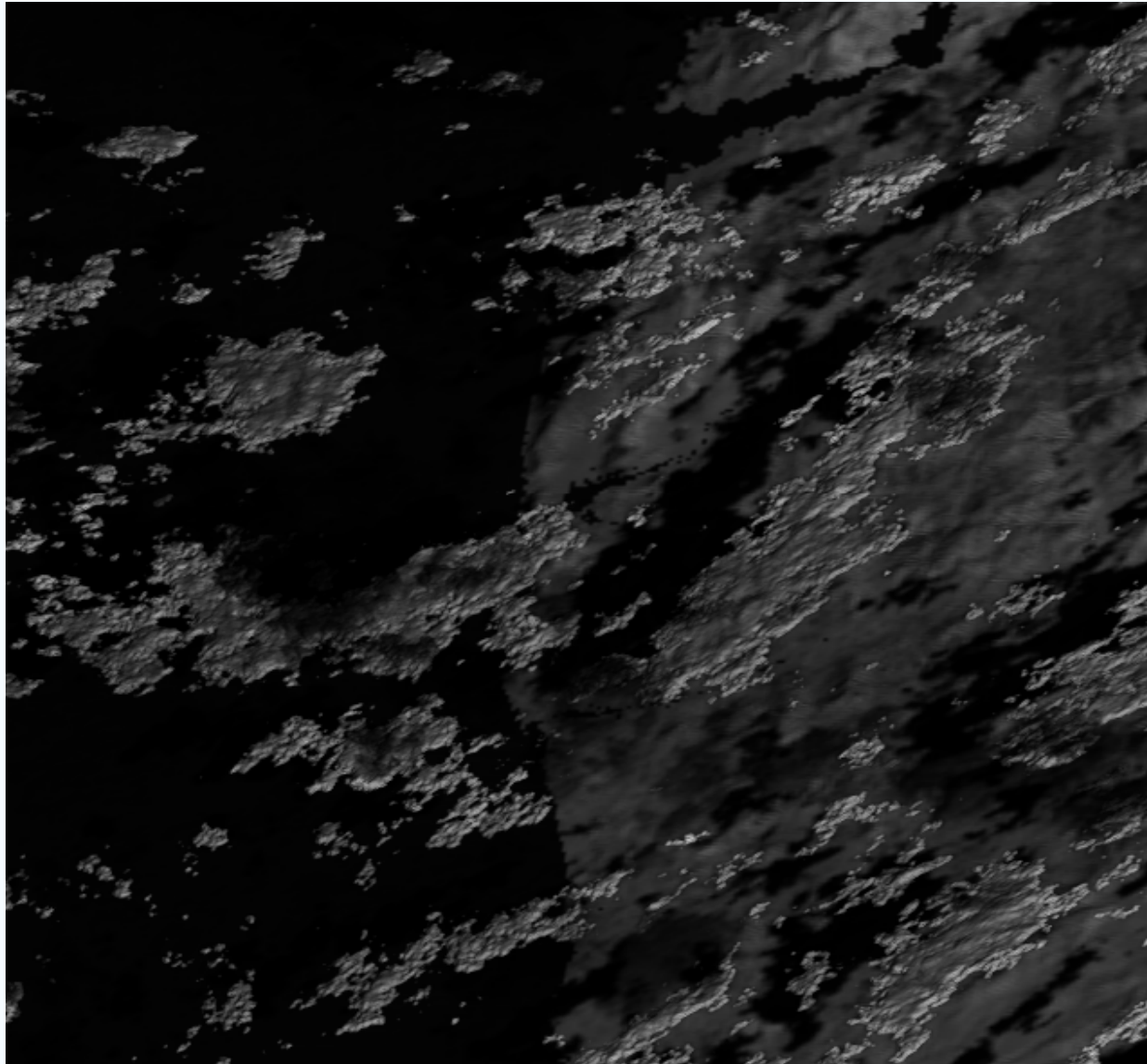


$T_0 + 600$ сек

Пример моделирования последовательности фона



$T_0 + 800$ сек

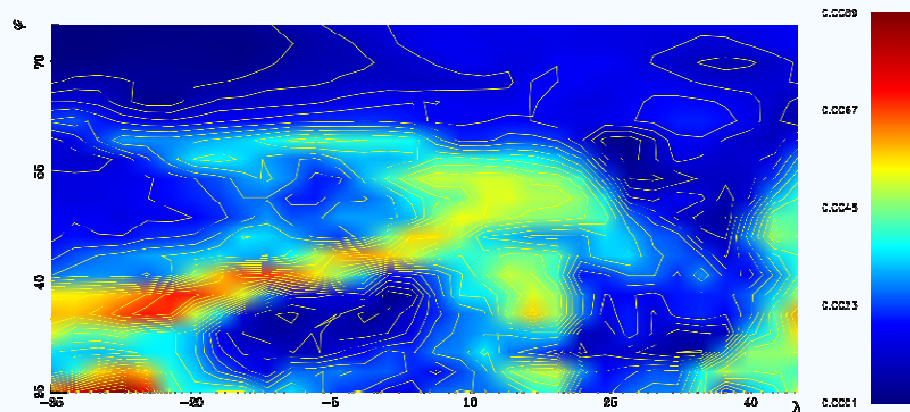
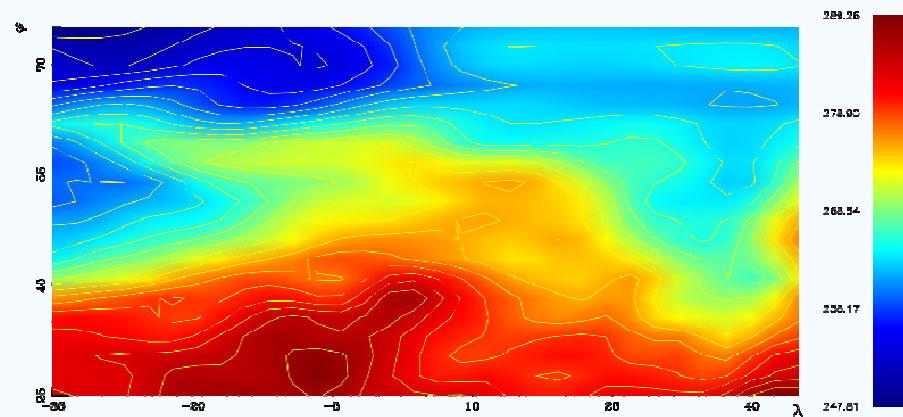
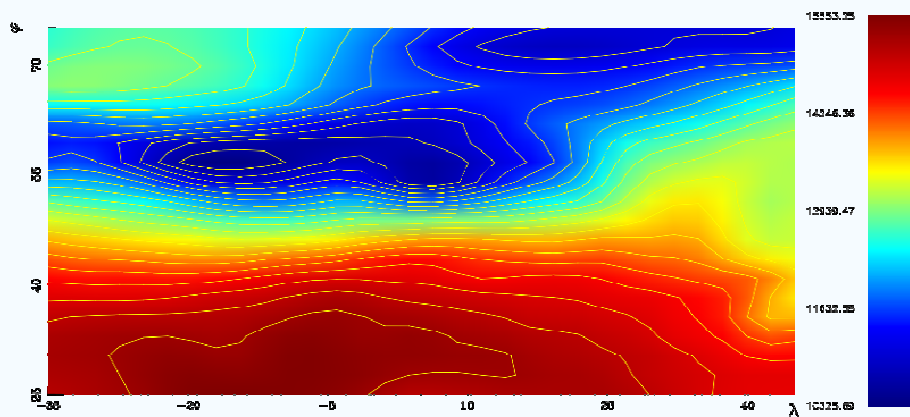


$T_0 + 1000$ сек

Результаты работы комплексной модели в полунатурном режиме

Экспериментальные данные для сопоставления

26 февраля 2002 г. по данным ECMWF (European Centre for Medium-Range Weather Forecasts)

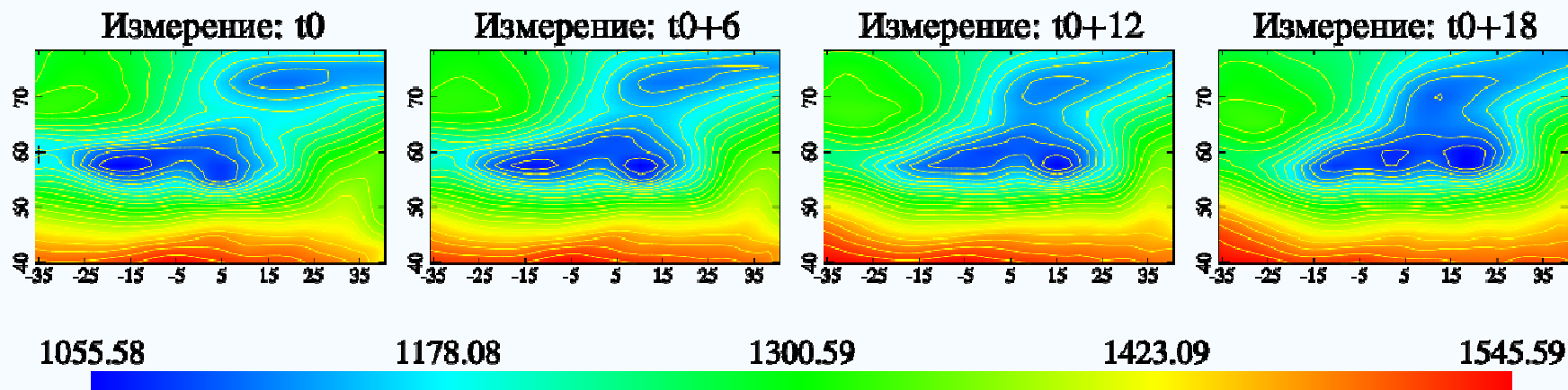


Метеорологические параметры атмосферы
на барическом уровне 850 мбар

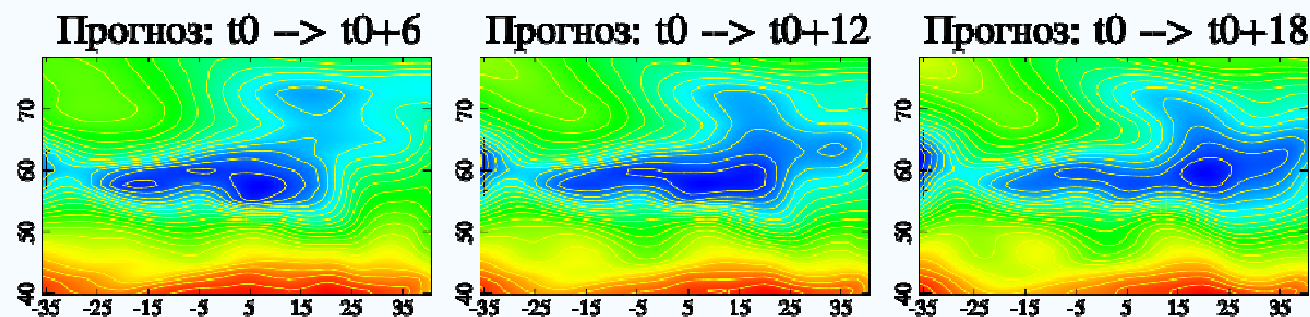
- геопотенциал
- температура
- удельное влагосодержание

Результаты полунатурного моделирования и сопоставление с экспериментальными данными

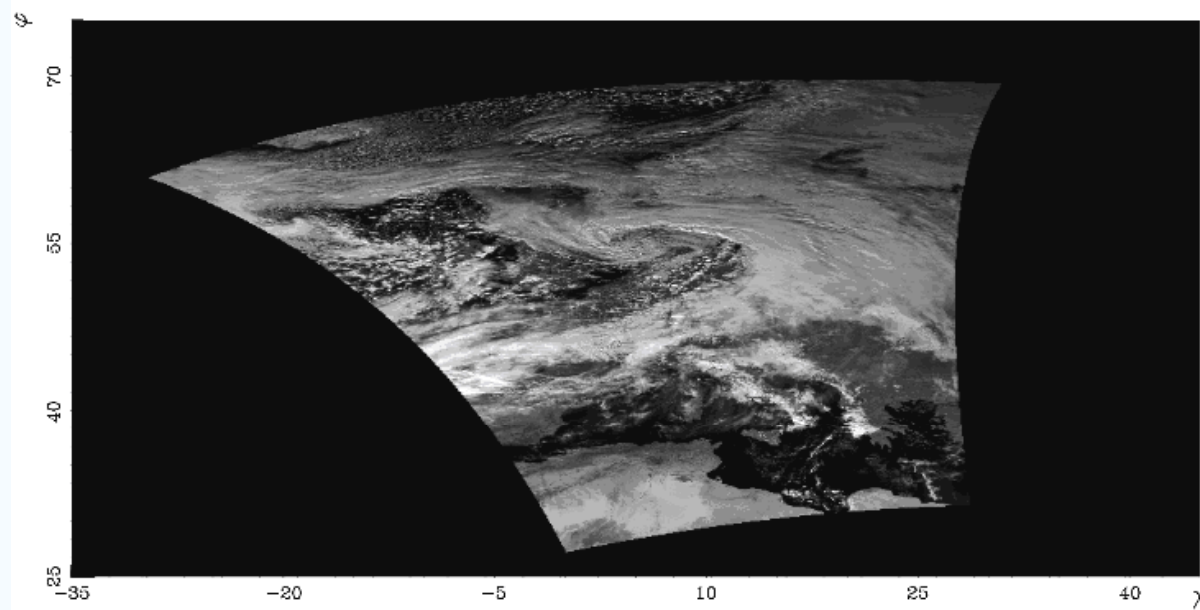
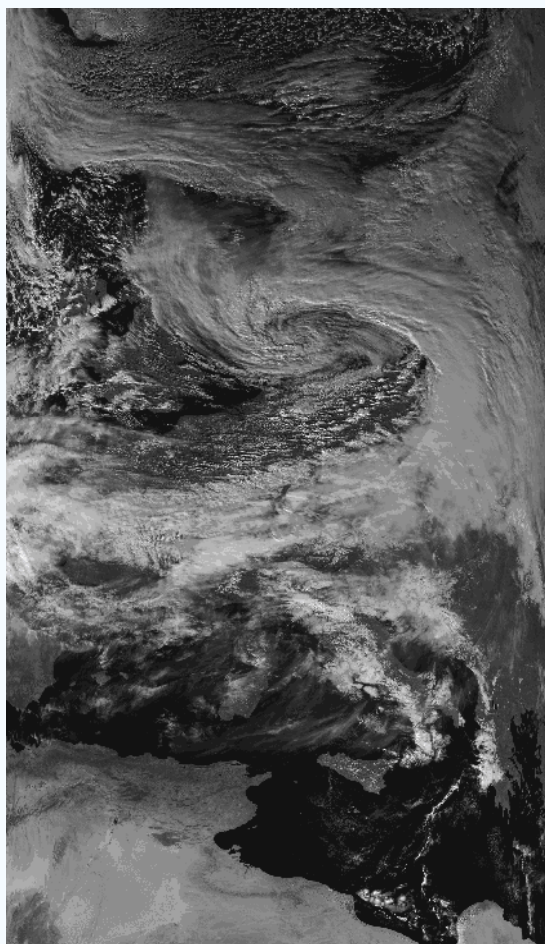
Экспериментальная динамика геопотенциала на барическом уровне 850 мбар



Результаты моделирования эволюции геопотенциала

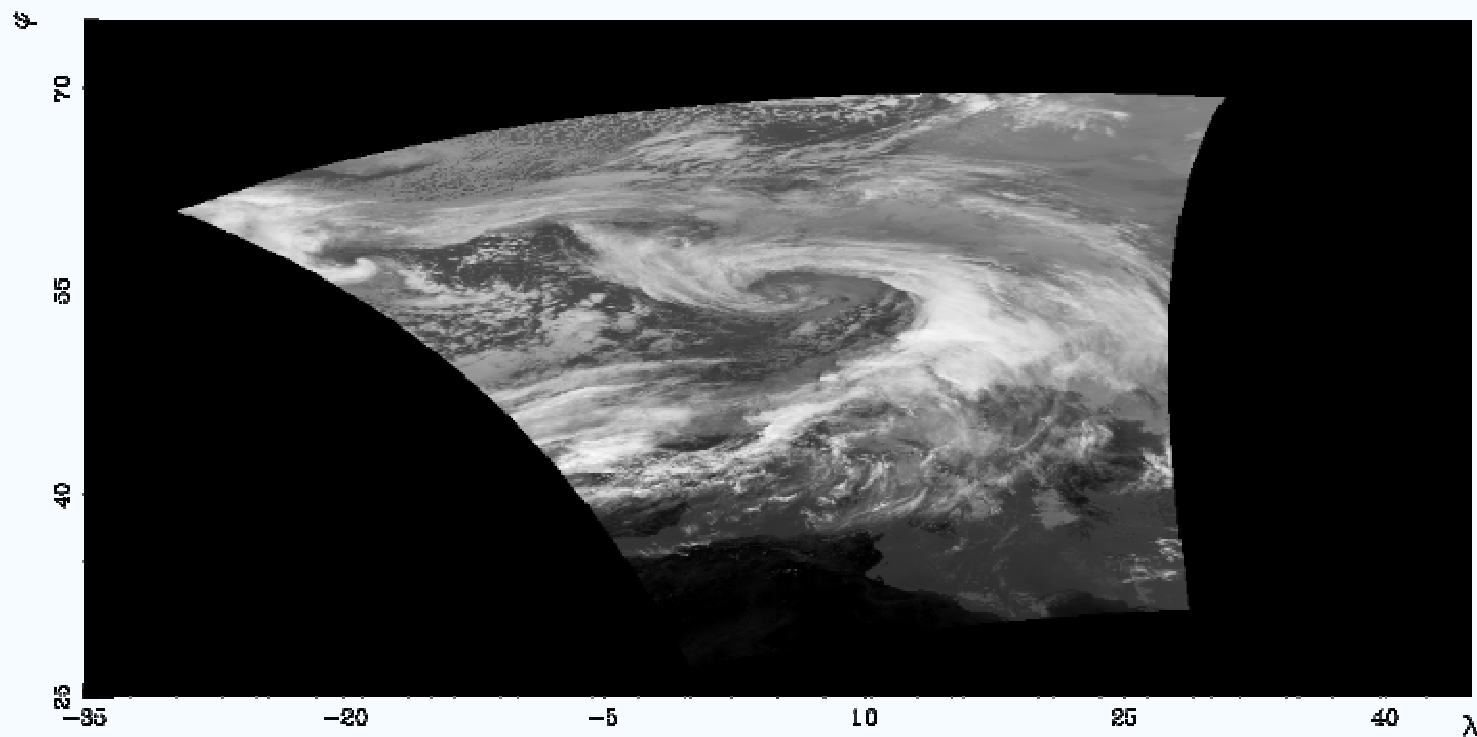


Экспериментальные данные для сопоставления 26 февраля 2002 г. с 12.40 по 12.50 UT спутник NOAA-15



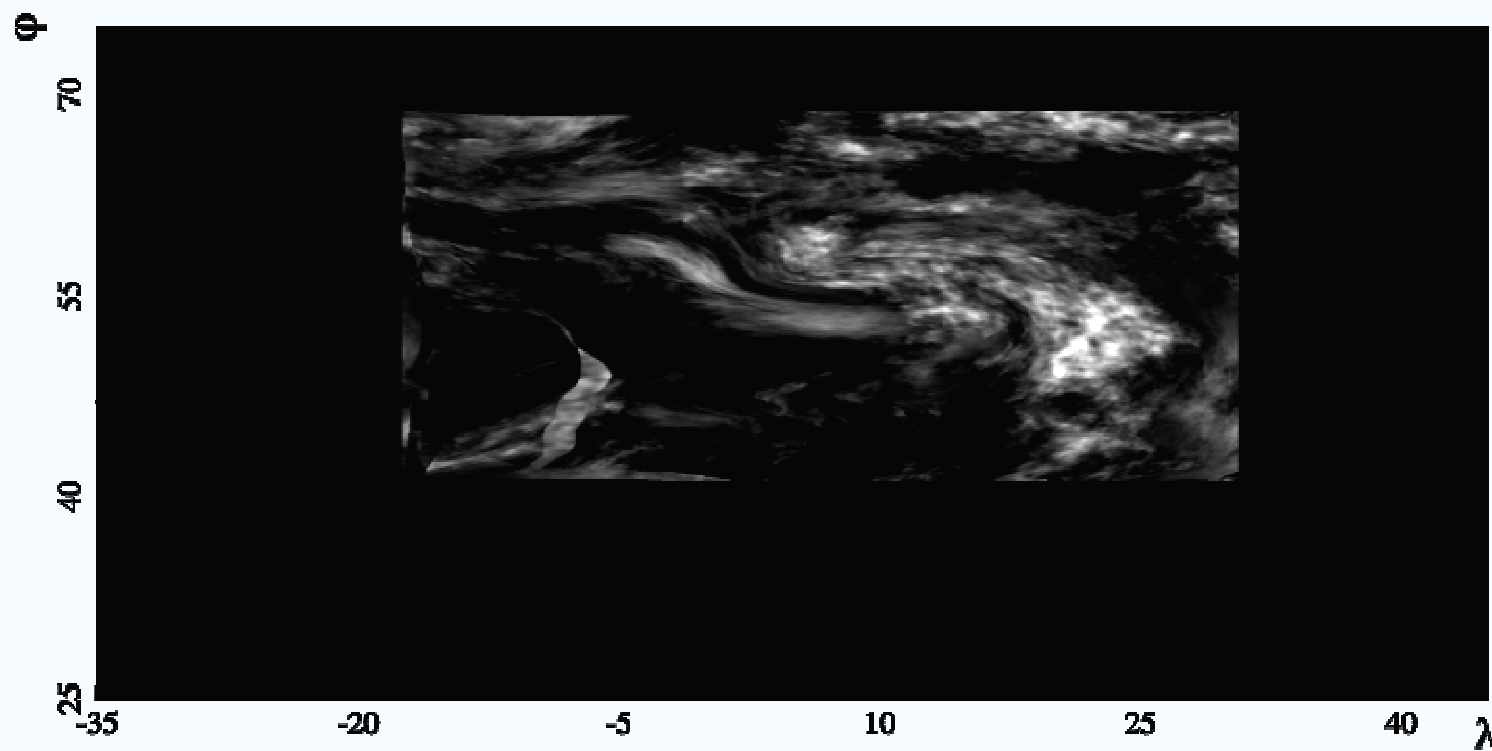
Фрагмент исходного изображения циклона в диапазоне 0.7 – 1.0 мкм и изображение того же циклона после преобразования к географическим координатам

Результаты полунатурного моделирования и сопоставление с экспериментальными данными



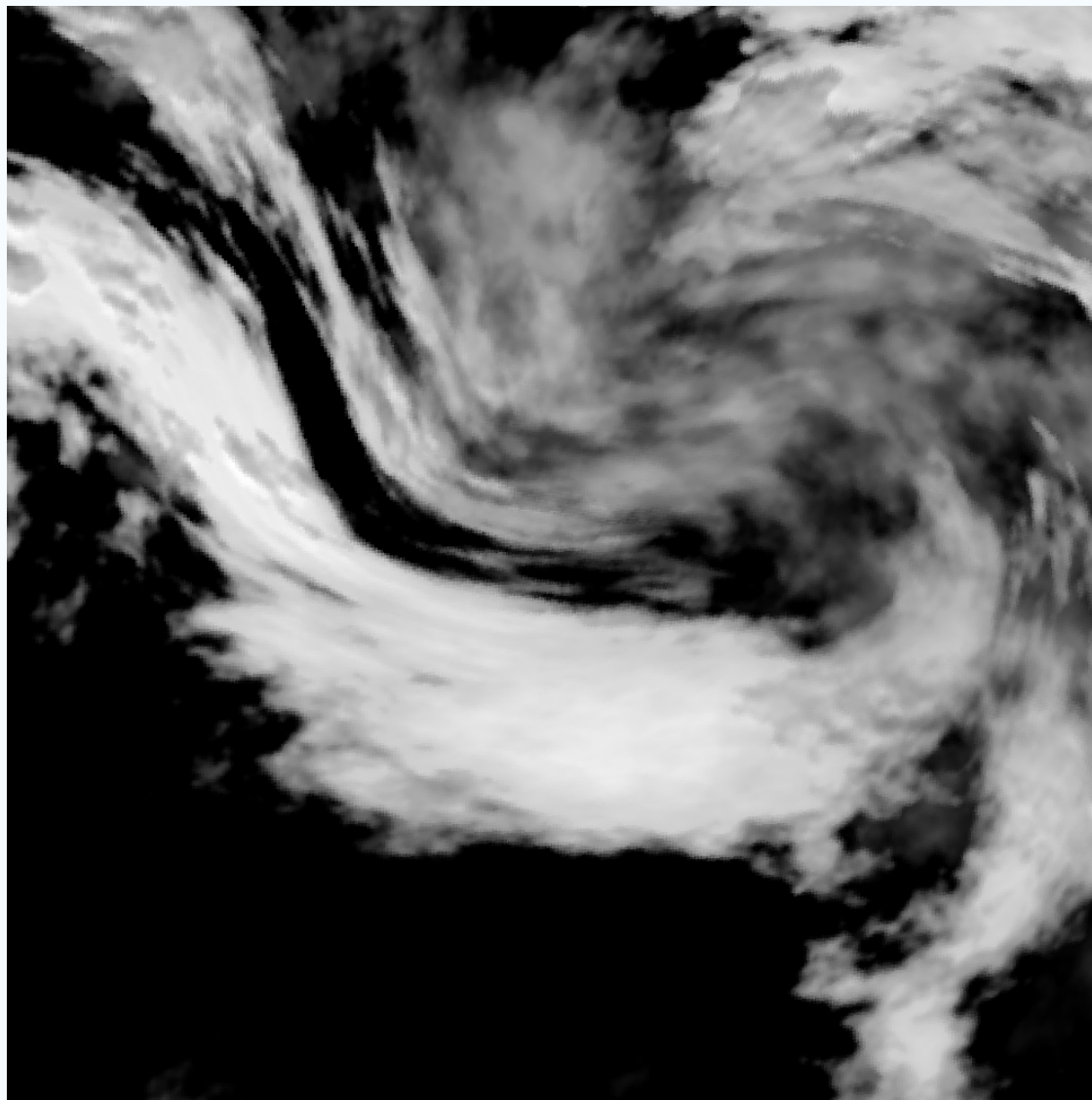
Карта верхней границы облачности, восстановленная моделью по многоспектральным спутниковым изображениям циклона

Результаты полунатурного моделирования и сопоставление с экспериментальными данными



Случайная реализация карты верхней границы облачности, выданные моделью для времени получения спутникового изображения циклона

Результаты полунатурного моделирования и сопоставление с экспериментальными данными



02.02.2009

Модельное изображение центральной части циклона